

Движение симметричного экипажа с массивными роликами на омни-колесах

К.В. Герасимов, А.А. Зобова

Кафедра теоретической механики и мехатроники
Механико-математический факультет
МГУ им. М.В. Ломоносова

Научный семинар имени В.В.Румянцева, Октябрь 2017

План

Постановка задачи

Уравнения движения

Кинетическая энергия и лагранжиан

Структура уравнений - отличие от случая без роликов

Численное решение

Переход между роликами

Примеры.

Рисунки

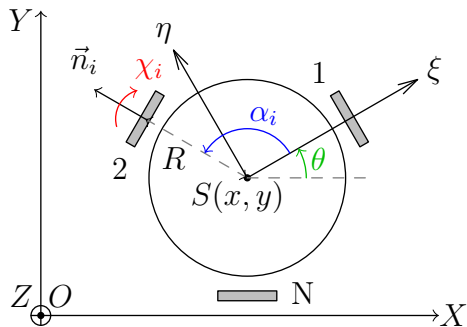


Рис.: Экипаж

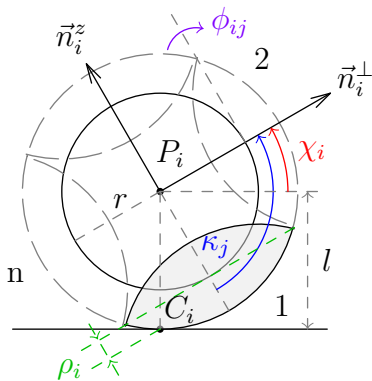


Рис.: Колесо

Постановка задачи

Тела, связи, степени свободы

- ▶ Экипаж состоит из платформы, N колес и n роликов, количество твердых тел:

$$1 + N(n + 1)$$

- ▶ Оси и центры колес и роликов неподвижны относительно платформы и колес соответственно
- ▶ Скорость точек контакта равна нулю:

$$\mathbf{v}_{C_i} = 0, i = 1 \dots N$$

- ▶ Количество степеней свободы:

$$3 + N(n - 1)$$

Постановка задачи

Координаты, псевдоскорости, связи

- Обобщенные координаты:

$q = (x, y, \theta, \chi_i, \phi_k, \phi_s)$, где $i, k = 1 \dots N$, s – ролики вне контакта.

- Псевдоскорости:

$\nu = (\nu_1, \nu_2, \nu_3, \nu_s)$, $\mathbf{v}_S = R\nu_1 \mathbf{e}_\xi + R\nu_2 \mathbf{e}_\eta$, $\nu_3 = \Lambda \dot{\theta}$, $\nu_s = \dot{\phi}_s$

- Связи:

$$\dot{x} = R\nu_1 \cos \theta - R\nu_2 \sin \theta, \quad \dot{y} = R\nu_1 \sin \theta + R\nu_2 \cos \theta,$$

$$\dot{\theta} = \frac{\nu_3}{\Lambda}, \quad \dot{\chi}_i = \frac{R}{l}(\nu_1 \sin \alpha_i - \nu_2 \cos \alpha_i - \frac{\nu_3}{\Lambda}),$$

$$\dot{\phi}_k = \frac{R}{l \cos \chi_k - r}(\nu_1 \cos \alpha_k + \nu_2 \sin \alpha_k), \quad \dot{\phi}_s = \nu_s$$

План

Постановка задачи

Уравнения движения

Кинетическая энергия и лагранжиан

Структура уравнений - отличие от случая без роликов

Численное решение

Переход между роликами

Примеры.

Кинетическая энергия и лагранжиан

- Присутствует аддитивный член, пропорциональный B – моменту инерции ролика относительно его оси собственного вращения:

$$2T = 2L = M\mathbf{v}_S^2 + I_S\dot{\theta}^2 + J\sum_i \dot{\chi}_i^2 +$$

$$+ B \sum_{i,j} (\dot{\phi}_{ij}^2 + 2\dot{\theta} \sin(\kappa_j + \chi_i) \dot{\phi}_{ij}),$$

$$M = \dot{M} + Nnm$$

$$I_S = \dot{I}_S + N \cdot n \left(\frac{A+B}{2} + mR^2 + \frac{mr^2}{2} \right),$$

$$J = \dot{J} + n(A + mr^2)$$

Кинетическая энергия и лагранжиан

- С учетом связей:

$$\begin{aligned} 2L^* = & \dot{\nu}^T \dot{V}^T \dot{M} \dot{V} \dot{\nu} + \\ & + B \sum_i \left(\frac{(\nu_2 \sin \alpha_i + \nu_1 \cos \alpha_i)^2 R^2}{\rho_i^2} + \right. \\ & \left. + \frac{2R\nu_3(\nu_2 \sin \alpha_i + \nu_1 \cos \alpha_i) \sin \chi_i}{\rho_i \Lambda} \right) \\ & + B \sum_{i,j} \left(\frac{2\nu_3 \nu_{ni+j} \sin(\kappa_j + \chi_i)}{\Lambda} + \nu_{ni+j}^2 \right) \end{aligned}$$

где $\frac{1}{2} \dot{\nu}^T \dot{V}^T \dot{M} \dot{V} \dot{\nu}$ – лагранжиан системы без роликов,
 $\rho_i = l \cos \chi_i - r$

Кинетическая энергия и лагранжиан

Матрицы кинетической энергии и связей для системы без роликов

$$\dot{M} = \text{diag}(M, M, I_S, J \dots J),$$

$$\dot{V} = \begin{bmatrix} R \cos \theta & -R \sin \theta & 0 \\ R \sin \theta & R \cos \theta & 0 \\ 0 & 0 & \frac{1}{\Lambda} \\ \frac{R}{I} \sin \alpha_i & -\frac{R}{I} \cos \alpha_i & -\frac{R}{I\Lambda} \end{bmatrix}$$

План

Постановка задачи

Уравнения движения

Кинетическая энергия и лагранжиан

Структура уравнений - отличие от случая без роликов

Численное решение

Переход между роликами

Примеры.

Структура уравнений

Отличие от случая без роликов

- Уравнения Я.В. Татаринова:

$$\frac{d}{dt} \frac{\partial L^*}{\partial \nu_\alpha} + \{P_\alpha, L^*\} = \{P_\alpha, \nu_\mu P_\mu\}, \quad (1)$$

$$\nu_\mu P_\mu = \dot{q}_i p_i, \quad p_i = \frac{\partial L}{\partial \dot{q}_i}$$

- Лагранжиан и “импульсы” отличаются аддитивными членами:

$$L^* = \dot{L}^* + BL_\Delta^*(\nu, \chi)$$

$$P_\alpha = \dot{P}_\alpha(\theta, p_x, p_y, p_\chi) + P_\Delta(p_{\phi_i}, \chi)$$

Структура уравнений

Матрица лагранжиана

Лагранжиан с учетом связей имеет вид:

$$2L^* = \boldsymbol{\nu}^T \mathbf{V}^T \mathcal{M} \mathbf{V} \boldsymbol{\nu} = \boldsymbol{\nu}^T \mathcal{M}^*(\chi_i) \boldsymbol{\nu}$$

Структура симметричной матрицы \mathcal{M}^* следующая:

$$\mathcal{M}^* = \begin{bmatrix} \begin{pmatrix} m_{ij}^* \end{pmatrix}_{3 \times 3} & \begin{pmatrix} 0 & \dots & 0 \\ 0 & \dots & 0 \\ B\Lambda^{-1} \sin \chi_{12} & \dots & B\Lambda^{-1} \sin \chi_{nN} \end{pmatrix} \\ * & B & \ddots & B \end{bmatrix}$$

Структура уравнений

Слагаемые для свободных роликов

Первое слагаемое (1) получается дифференцированием лагранжиана и подстановкой связей (ниже $\mathcal{M}_i^* = \frac{\partial \mathcal{M}^*}{\partial \chi_i}$):

$$\frac{d}{dt} \frac{\partial L^*}{\partial \nu_\alpha} = \frac{d}{dt} (\mathcal{M}^*(\chi) \nu_\alpha) = \mathcal{M}^*(\chi_i) \dot{\nu}_\alpha + \left(\sum_{i=1}^N \mathcal{M}_i^* (V\nu)_{3+i} \nu \right)_\alpha,$$

Слагаемые, соответствующие свободным роликам:

$$\frac{\cos \chi_{ij} \nu_3 B \left(-\frac{\nu_3 R}{l\Lambda} - \frac{\cos \alpha_i \nu_2 R}{l} + \frac{\sin \alpha_i \nu_1 R}{l} \right)}{\Lambda} = \frac{B}{\Lambda} \cos \chi_{ij} (\dot{\chi}_i)^* \nu_3.$$

Структура уравнений

Детали

Формальные импульсы P_α и скобки Пуассона L^* с ними:

$$\begin{aligned}P_1 &= R \left(p_x \cos \theta + p_y \sin \theta + \sum_i \left(\frac{\sin \alpha_i p_{\chi_i}}{l} + \frac{\cos \alpha_i p_{\phi_{i1}}}{\rho_i} \right) \right), \\P_2 &= R \left(-p_x \sin \theta + p_y \cos \theta + \sum_i \left(-\frac{\cos \alpha_i p_{\chi_i}}{l} + \frac{\sin \alpha_i p_{\phi_{i1}}}{\rho_i} \right) \right), \\P_3 &= \frac{1}{\Lambda} \left(p_\theta - \sum_i \frac{R}{l} p_{\chi_i} \right), \quad P_s p_{\phi_s},\end{aligned}$$

$$\{P_1, L^*\} = -\frac{\partial P_1}{\partial p_{\chi_i}} \frac{\partial L^*}{\partial \chi_i} = -\frac{R}{2l} \boldsymbol{\nu}^T \sin \alpha_i \mathcal{M}_i^* \boldsymbol{\nu},$$

$$\{P_2, L^*\} = \frac{R}{2l} \boldsymbol{\nu}^T \cos \alpha_i \mathcal{M}_i^* \boldsymbol{\nu}, \quad \{P_3, L^*\} = \frac{R}{2l\Lambda} \boldsymbol{\nu}^T \mathcal{M}_i^* \boldsymbol{\nu}, \quad \{P_s, L^*\} = 0,$$

Суммы $\{P_\alpha, \nu_\mu P_\mu\} \neq 0$ лишь для первых трех уравнений.

Структура уравнений

Новые слагаемые (\mathcal{P}_α и \mathcal{M}_i^* зависят от χ)

$$\begin{aligned} \mathcal{M}^* \dot{\boldsymbol{\nu}} = & \frac{MR^2}{\Lambda} \begin{pmatrix} \nu_2 \nu_3 \\ -\nu_1 \nu_3 \\ 0 \\ 0 \\ \vdots \\ 0 \end{pmatrix} + \frac{R}{2I} \boldsymbol{\nu}^T \begin{pmatrix} -\sin \alpha_i \mathcal{M}_i^* \\ \cos \alpha_i \mathcal{M}_i^* \\ \Lambda^{-1} \mathcal{M}_i^* \\ 0 \\ \vdots \\ 0 \end{pmatrix} \boldsymbol{\nu} \\ & - BR^2 \boldsymbol{\nu}^T \begin{pmatrix} \mathcal{P}_1 \\ \mathcal{P}_2 \\ \mathcal{P}_3 \\ 0 \\ \vdots \\ 0 \end{pmatrix} \boldsymbol{\nu} - B \begin{pmatrix} * \\ * \\ * \\ \cos \chi_{12} \frac{\nu_3}{\Lambda} \dot{\chi}_1^* \\ \vdots \\ \cos \chi_{Nn} \frac{\nu_3}{\Lambda} \dot{\chi}_N^* \end{pmatrix} \end{aligned}$$

Структура уравнений

Свойства

1. Интеграл энергии $\frac{1}{2}\boldsymbol{\nu}^T \mathcal{M}^*(\chi_i)\boldsymbol{\nu} = h = \text{const}$
(связи автономны, идеальны, силы консервативны)
2. $\nu_1 = \nu_2 = \nu_3 = 0 \implies \nu_s = \text{const}$
3. $B = 0 \implies$ уравнения как в безынерционной модели.
4. Интеграл $m_{33}^*\nu_3 = \text{const}$ разрушается при $B \neq 0$. $\dot{\nu}_3 \sim B$.
5. Первые интегралы:

$$\nu_s + \frac{1}{\Lambda} \sin \chi_{ij} \nu_3 = \text{const.}$$

Вращение $\nu_1(0) = 0, \nu_2(0) = 0, \nu_3(0) \neq 0$ неравномерно.

6. Замена псевдоскоростей $\boldsymbol{\nu} \rightarrow \lambda \boldsymbol{\nu}, \lambda \neq 0$ эквивалентна замене времени $t \rightarrow \lambda t$.

План

Постановка задачи

Уравнения движения

Кинетическая энергия и лагранжиан

Структура уравнений - отличие от случая без роликов

Численное решение

Переход между роликами

Примеры.

Переход между роликами

Сложности и допущения

(1) Уравнения вырождаются на стыках роликов:

квадратичные формы \mathbf{F}_i терпят разрыв 2ого рода из-за выражений $(l \cos \chi_i - r)$ в знаменателе.

Пусть переход на следующий ролик будет раньше стыка.

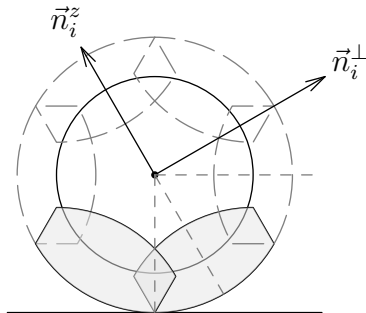


Рис.: Ролики перекрываются

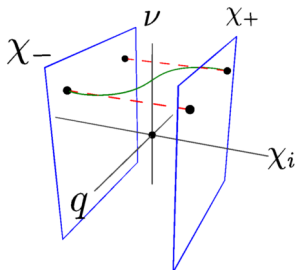
Переход между роликами

Сложности и допущения

(2) Ролики входят и выходят из состояния контакта.

Происходит мгновенное наложение и снятие связи.

При переходе сохраним значения ν_1, ν_2, ν_3 ,
из связей $-\dot{\chi}_i$ колеса и $\dot{\phi}_j$ освободившегося ролика,
остальные ролики циклически перенумеруем.



План

Постановка задачи

Уравнения движения

Кинетическая энергия и лагранжиан

Структура уравнений - отличие от случая без роликов

Численное решение

Переход между роликами

Примеры.

Значения параметров

- ▶ радиус колеса $r = 0.05$,
- ▶ масса колеса $M_{\kappa} = 0.15$,
- ▶ масса ролика $m_{\text{рол}} = 0.05$,
- ▶ радиус платформы $R = 0.15$,
- ▶ масса платформы $M_{\text{пл}} = 1$.

Вращение вокруг своей оси ($\nu_{1,2}(0) = 0, \nu_3 = 1$).

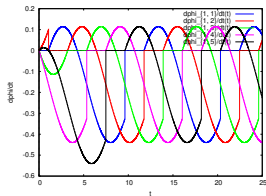


Рис.: Скорости роликов $\dot{\phi}_{ij}(t)$ на любом колесе

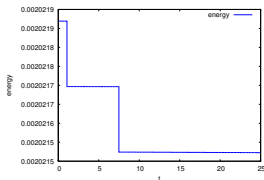


Рис.: Кинетическая энергия

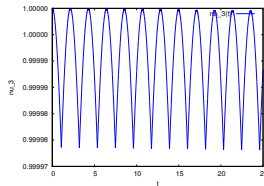
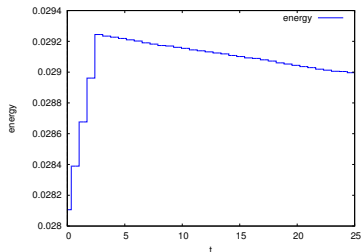
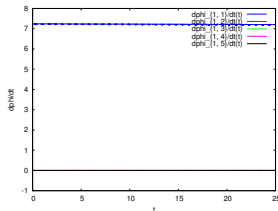


Рис.: Угловая скорость собственного вращения $\nu_3(t)$

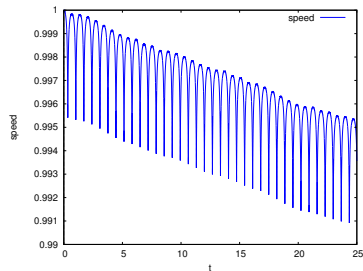
Движение по прямой ($\nu_1(0) = 1, \nu_{2,3} = 0$).



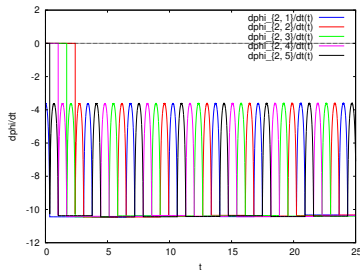
Кинетическая энергия



$\dot{\phi}_{ij}(t)$ на переднем
колесе

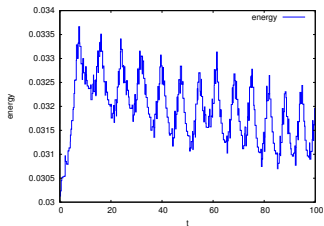


Скорость центра масс

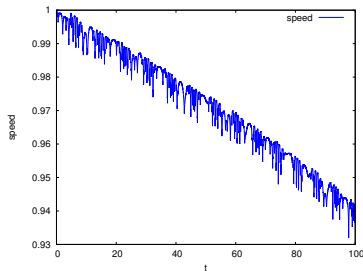


$\dot{\phi}_{ij}(t)$ на правом заднем

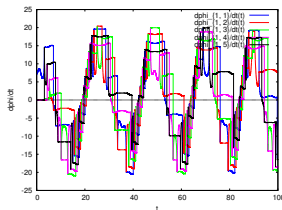
Движение с закруткой ($\nu_1(0) = 1, \nu_2(0) = 0, \nu_3(0) = 1$).



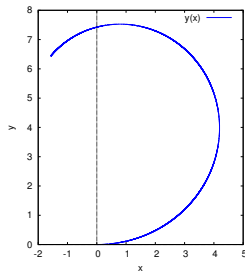
Кинетическая энергия



Скорость центра масс



Скорости роликов
 $\dot{\phi}_{ij}(t)$ на колесе №1



Траектория центра масс

Результаты

- ▶ Получены уравнения движения экипажа **с полным набором роликов** в неголономной постановке.
- ▶ Показано, что разница с уравнениями для системы без роликов пропорциональна моменту инерции ролика.
- ▶ Выявлены свойства движения и первые интегралы.
- ▶ **Учтено движение свободных роликов** и обнаружено его существенное влияние.
- ▶ Получены численные решения для симметричной конфигурации.

Спасибо за внимание!